

Спин-поляризованные токи в двухтерминальном квантовом кольце со спин-орбитальным взаимодействием

© А.А. Григорькин¹, С.М. Дунаевский^{¶,1-3}

¹ Петербургский институт ядерной физики им. Б.П. Константинова, НИЦ „Курчатовский институт“, Гатчина, Россия

² Санкт-Петербургский политехнический университет Петра Великого, Санкт-Петербург, Россия

³ Санкт-Петербургский государственный электротехнический университет „ЛЭТИ“, Санкт-Петербург, Россия

¶ E-mail: smd2000@mail.ru

(Поступила в Редакцию 25 декабря 2015 г.)

Выполнен расчет фотоиндуцированного спинового тока в системе, состоящей из одномерного квантового кольца с присоединенными к нему проводниками. Показано, что при наличии спин-орбитального взаимодействия Рашбы и циркулярно поляризованного излучения в кольце возникает ток. Выражения для тока и коэффициентов прохождения электронов получены с учетом неупругого взаимодействия с излучением. Показано, что спиновый ток является сложной функцией магнитного потока через кольцо, частоты излучения и константы спин-орбитальной связи. При наличии разности потенциалов взаимодействие с излучением может существенно повысить эффективность спинового фильтра на основе квантового кольца.

1. Введение

В последние годы квантовые кольца привлекают пристальное внимание, поскольку характерные для них эффекты, связанные с интерференцией электронных волновых функций, позволяют создавать эффективные спиновые фильтры [1–6]. При этом в возникновении спин-поляризованных токов важную роль играет спин-орбитальное взаимодействие [7,8], позволяющее реализовать схему управления спиновой поляризацией посредством электрического поля. Геометрия кольца удобна и для изучения взаимодействия электронов с циркулярно поляризованным излучением [9], что считается одним из самых перспективных методов управления спиновой степенью свободы [10–13]. В теоретических работах показана возможность возбуждения в кольце спин-поляризованного тока под действием двухкомпонентного импульса терагерцевого излучения [14] и при освещении двух точек кольца монохроматическим излучением [15]. В [16] отмечено, что на основе системы квантового кольца с асимметрично присоединенными проводниками при осциллирующей константе спин-орбитального взаимодействия возможно создание квантового насоса для спинового тока. В [17] рассмотрен квантовый насос при симметричном подключении проводников, когда спиновый ток возникает при осциллирующем магнитном потоке за счет эффекта Аронова–Кэшера.

В настоящей работе рассматривается генерация спин-поляризованных токов в двухтерминальном кольце под действием циркулярно поляризованного оптического излучения.

2. Модель

Рассматриваемая система представляет собой кольцо радиуса ρ , соединенное с электронными резервуарами двумя одномерными проводниками, присоединенными в точках с угловыми координатами φ_1 и φ_2 (рис. 1). Кольцо находится в постоянном магнитном поле B , направленном перпендикулярно его плоскости, а также в электрическом поле циркулярно поляризованного излучения с амплитудой E_0 и частотой ω .

При отсутствии оптического возмущения электронный гамильтониан H_0 кольца с учетом спин-орбитального взаимодействия в форме Рашбы определяется выражением [7,8]

$$H_R = \varepsilon \left(\frac{d}{id\varphi} + \phi \right)^2 + \varepsilon \alpha_0 \left(\frac{d}{id\varphi} + \phi \right) \sigma_\rho - i\varepsilon \frac{\alpha_0}{2} \sigma_\varphi + \frac{g^* \mu_B B}{2} \sigma_z, \quad (1)$$

где $\varepsilon = \hbar/2m^* \rho^2$, m^* — эффективная масса электрона, $\phi = eB\rho^2/\hbar c$ — число квантов потока магнитного поля через кольцо, μ_B — магнетон Бора, g^* — эффективное гиромангнитное отношение, $\alpha_0 = \alpha\hbar/\varepsilon\rho$, α — константа спин-орбитального взаимодействия. Матрицы спина имеют следующий вид:

$$\sigma_z = \begin{pmatrix} 1 & 0 \\ 0 & -1 \end{pmatrix}, \quad \sigma_\rho = \begin{pmatrix} 0 & e^{-i\varphi} \\ e^{i\varphi} & 0 \end{pmatrix}, \\ \sigma_\varphi = \begin{pmatrix} 0 & -ie^{-i\varphi} \\ e^{i\varphi} & 0 \end{pmatrix}. \quad (2)$$

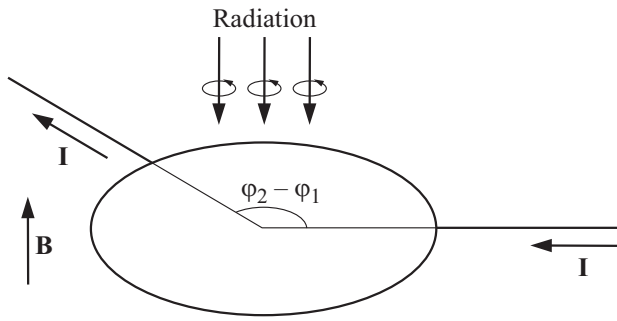


Рис. 1. Схематическое изображение рассматриваемой системы.

Взаимодействие электронов на кольце с электромагнитной волной можно описать оператором возмущения

$$V_\omega = V_s^+ e^{-i\omega t} + V_s^- e^{i\omega t}, \quad (3)$$

где $s = \pm 1$ определяет направление циркулярной поляризации, а операторы V_s^\pm имеют вид

$$V_s^\pm = \varepsilon \frac{eE_0\rho}{\hbar\omega} s \left(\left\{ \frac{\partial}{i\partial\varphi} + \phi, e^{\pm is\varphi} \right\} + \alpha_0 e^{\pm is\varphi} (\sigma_\rho \pm i\sigma_\varphi s) \right). \quad (4)$$

Здесь $\{\dots\}$ — антикоммутатор.

3. Волновые функции и коэффициенты прохождения

Волновую функцию электрона в a -м проводнике $g^{(a,b)}$ ($a, b = 1, 2$) будем искать в виде суперпозиции волны единичной амплитуды с энергией E , падающей на кольцо из проводника b , и рассеянных на кольце волн с энергиями $E + n\hbar\omega$:

$$g^{(a,b)}(x) = \sum_{n=-\infty}^{\infty} g_n^{(a,b)}(x) e^{-(E+n\hbar\omega)t/\hbar}, \quad (5)$$

где

$$g_n^{(a,b)}(x) = \begin{cases} e^{ik_0 x} \begin{pmatrix} \gamma_\uparrow \\ \gamma_\downarrow \end{pmatrix} \delta_{n,0} + \begin{pmatrix} r_{n,\gamma_\uparrow}^{(a,a)} \\ 0 \end{pmatrix} e^{ik_n x} + \begin{pmatrix} 0 \\ r_{n,\gamma_\downarrow}^{(a,a)} \end{pmatrix} e^{ik_n x}, & b = a, \\ \begin{pmatrix} t_{n,\gamma_\uparrow}^{(a,b)} \\ 0 \end{pmatrix} e^{ik_n x} + \begin{pmatrix} 0 \\ t_{n,\gamma_\downarrow}^{(a,b)} \end{pmatrix} e^{ik_n x}, & b \neq a. \end{cases} \quad (6)$$

Здесь столбец γ определяет спиновую поляризацию падающей волны, $\delta_{i,j}$ — символ Кронекера, $k_n = \sqrt{2m^*(E + n\hbar\omega)}/\hbar$, оси координат в проводниках считаются направленными от кольца, точкам контакта с которым соответствуют значения $x = 0$.

Волновую функцию на кольце $\psi(\varphi)$ также ищем в виде ряда

$$\psi(\varphi) = \sum_{n=-\infty}^{\infty} \psi_n(\varphi) e^{-i(E+n\hbar\omega)t/\hbar}, \quad (7)$$

где

$$\psi_n(\varphi) = \begin{pmatrix} \psi_{n,\uparrow}(\varphi) \\ \psi_{n,\downarrow}(\varphi) \end{pmatrix} = \sum_{m=-\infty}^{\infty} c_{n,\uparrow}^m \begin{pmatrix} e^{im\varphi} \\ 0 \end{pmatrix} + c_{n,\downarrow}^m \begin{pmatrix} 0 \\ e^{im\varphi} \end{pmatrix}. \quad (8)$$

Запишем условия сшивки компонент волновых функций в контакте a ($a = 1, 2$)

$$\psi_n(\varphi_a) = g_n^{(a,b)}(0), \quad (9)$$

$$\rho^{-1} [\psi_n'(\varphi_a + 0) - \psi_n'(\varphi_a - 0)] + g_n^{(a,b)'}(0) = \lambda_a g_n^{(a,b)}(0), \quad (10)$$

где $\psi_n'(\varphi)$ — производная по φ , а $g_n^{(a,b)'}(x)$ — производная по x . Параметры λ_1 и λ_2 определяют амплитуды точечных потенциалов в контактах.

Из непрерывности волновых функций следует равенство

$$\psi_{n,\sigma}^{(a)} = \begin{cases} \gamma_\sigma \delta_{n,0} + r_{n,\gamma\sigma}^{(a,a)}, & b = a, \\ t_{n,\gamma\sigma}^{(a,b)}, & b \neq a. \end{cases} \quad (11)$$

Здесь $\sigma = \uparrow, \downarrow$, $\psi_{n,\sigma}^{(a)} = \psi_{n,\sigma}(\varphi_a)$. Подставив (7) в нестационарное уравнение Шредингера и сгруппировав члены с одинаковой зависимостью от времени, получим бесконечную систему уравнений следующего вида:

$$(H_R - (E + n\hbar\omega))\psi_n + V_\omega^+ \psi_{n-1} + V_\omega^- \psi_{n+1} = -\varepsilon\rho \sum_{a=1}^2 (\lambda_a g_n^{(a,b)}(0) - g_n^{(a,b)'}(0)) \delta(\varphi - \varphi_a). \quad (12)$$

Правая часть (12) позволяет учесть граничные условия (9), (10) для ψ_n [18]. Величины $g_n^{(a,b)}(0)$ и $g_n^{(a,b)'}(0)$ можно выразить через $\psi_{n,\sigma}^{(a)}$ и параметры падающей волны, используя (6) и (9). Подставив ряд (8) в (12) и разложив в ряд дельта-функции в правой части [18], для каждого значения $m = 0, \pm 1, \dots$ получим систему из двух уравнений

$$\begin{aligned} \Omega_{11}^{n,m} c_{n,\uparrow}^m + \Omega_{12}^{n,m} c_{n,\downarrow}^{m+1} + U_{11}^{m+s,-} c_{n+1,\uparrow}^{m+s} + U_{12}^{m+s,-} c_{n+1,\downarrow}^{m+1+s} \\ + U_{11}^{m-s,+} c_{n-1,\uparrow}^{m-s} + U_{12}^{m-s,+} c_{n-1,\downarrow}^{m+1-s} = q_{n,\uparrow}^m, \\ \Omega_{21}^{n,m} c_{n,\uparrow}^m + \Omega_{22}^{n,m} c_{n,\downarrow}^{m+1} + U_{21}^{m+s,-} c_{n+1,\uparrow}^{m+s} + U_{22}^{m+s,-} c_{n+1,\downarrow}^{m+1+s} \\ + U_{21}^{m-s,+} c_{n-1,\uparrow}^{m-s} + U_{22}^{m-s,+} c_{n-1,\downarrow}^{m+1-s} = q_{n,\downarrow}^{m+1}, \end{aligned} \quad (13)$$

Здесь

$$q_{n,\sigma}^m = -\frac{1}{2\pi} \sum_{a=1,2} ((\lambda_a - ik_n)\rho \psi_{n,\sigma}^{(a)} + 2ik_0\rho\gamma_\sigma \delta_{n,0} \delta_{a,b}) e^{-im\varphi_a}, \quad (14)$$

$\Omega_{ij}^{n,m}$ и $U_{ij}^{m,\pm}$ — элементы матриц, которые определяются следующими формулами:

$$\Omega^{n,m} = \begin{pmatrix} (m+\phi)^2 - (E+n\hbar\omega)/\varepsilon & \alpha_0(m+\phi+1/2) \\ \alpha_0(m+\phi+1/2) & (m+\phi+1)^2 - (E+n\hbar\omega)/\varepsilon \end{pmatrix}, \quad (15)$$

$$U^{m,\pm} = \frac{eE_0\rho}{\hbar\omega} s \begin{pmatrix} 2(m+\phi) \pm s & \alpha_0(1 \pm s) \\ \alpha_0(a \mp s) & 2(m+\phi+1) \pm s \end{pmatrix}. \quad (16)$$

Задача определения электронных состояний сводится к решению системы, состоящей из пар уравнений (13) при всех возможных значениях n и m . Эта система состоит из независимых подсистем зацепляющихся уравнений, каждую из которых можно представить в матричной форме

$$M^m C^m = Q^m. \quad (17)$$

Здесь матрица M^m и столбцы C^m , Q^m имеют следующий вид:

$$M^m = \begin{pmatrix} \dots & \dots & \dots & \dots & \dots & \dots \\ \dots & U^{m-2s,+} & \Omega^{-1,m-s} & U^{m,-} & 0 & 0 & \dots \\ \dots & 0 & U^{m-s,+} & \Omega^{0,m} & U^{m+s,-} & 0 & \dots \\ \dots & 0 & 0 & U^{m,+} & \Omega^{1,m+s} & U^{m+2s,-} & \dots \\ \dots & \dots & \dots & \dots & \dots & \dots & \dots \end{pmatrix}, \quad (18)$$

$$C^m = \begin{pmatrix} \dots \\ c_{-1,\uparrow}^{m-s} \\ c_{-1,\downarrow}^{m-s+1} \\ c_{0,\uparrow}^m \\ c_{0,\downarrow}^{m+1} \\ c_{1,\uparrow}^{m+s} \\ c_{1,\downarrow}^{m+s+1} \\ \dots \end{pmatrix}, \quad Q^m = \begin{pmatrix} \dots \\ q_{-1,\uparrow}^{m-s} \\ q_{-1,\downarrow}^{m-s+1} \\ q_{0,\uparrow}^m \\ q_{0,\downarrow}^{m+1} \\ q_{1,\uparrow}^{m+s} \\ q_{1,\downarrow}^{m+s+1} \\ \dots \end{pmatrix}. \quad (19)$$

Зафиксируем $n_{\max} = N$ — максимальный порядок, в котором будет учитываться действие излучения. Коэффициенты $c_{n,\sigma}^m$ определяются обычным образом, путем подстановки столбца свободных членов Q^m вместо соответствующего столбца M^m и деления детерминанта получившейся матрицы на детерминант M^m . Из (14) следует, что найденные таким образом коэффициенты будут линейными функциями величин $\psi_{n,\sigma}^{(a)}$ и $k_0\gamma_\sigma$. Подставив их в (8) и произведя суммирование, получаем $2(2N+1)$ функций $\psi_{n,\sigma}(\varphi)$, которые также будут линейными функциями $\psi_{n,\sigma}^{(a)}$ и $k_0\gamma_\sigma$. Взяв в качестве аргумента каждой функции $\psi_{n,\sigma}(\varphi)$ значения φ_1 и φ_2 ,

получим самосогласованную линейную неоднородную систему уравнений относительно $4(2N+1)$ величин $\psi_{n,\sigma}^{(a)}$

$$\sum_{\substack{\sigma=\uparrow,\downarrow \\ n=-N,\dots,N \\ a=1,2}} B_{n,\sigma}^{(a)} \psi_{n,\sigma}^{(a)} - \psi_{n',\sigma'}^{(a')} \delta_{nn'} \delta_{\sigma\sigma'} \delta_{a,a'} = D_{n',\sigma'}^{(a')} k_0 \gamma_{\sigma'}, \quad (20)$$

где $B_{n,\sigma}^{(a)}$ и $D_{n,\sigma}^{(a)}$ являются линейными комбинациями отношений детерминантов, полученных при решении систем (17). В связи с громоздкостью получающихся выражений определение явного вида этих коэффициентов и волновых функций (8) имеет смысл лишь при малых N . Для $N=1$ в отсутствие спин-орбитальной связи это сделано в работе [18].

Решения неоднородной системы уравнений (20) дают значения $\psi_{n,\sigma}^{(a)}$, соответствующие энергии E и спиновой поляризации γ падающей волны. Из (11) следует, что тем самым определяются все коэффициенты отражения и прохождения электрона через кольцо.

4. Спин-поляризованные токи

Рассмотрим спин-поляризованные токи в нашей системе в баллистическом режиме. В настоящей работе ограничимся случаем centrosymmetric системы, когда $\varphi_1 - \varphi_2 = \pi$ и $\lambda_1 = \lambda_2 = \lambda$.

Пусть проводники 1 и 2 присоединены к электронным резервуарам, химические потенциалы которых μ_1 и μ_2 в общем случае различны. Электроны из первого резервуара занимают в первом проводнике состояния, соответствующие падающей и отраженным от кольца волнам. Электроны из второго резервуара занимают в этом проводнике состояния, соответствующие волнам, прошедшим через кольцо. Складывая в первом проводнике электронные потоки, имеющие определенную спиновую поляризацию, путем несложных преобразований можно получить общие выражения для спин-поляризованных токов в нашей системе

$$I^\uparrow = \frac{e}{2\pi\hbar} \sum_{n=-N}^N \frac{k_n}{k_0} \int_0^\infty \left(|t_{n,\uparrow\uparrow}^{12}|^2 + |t_{n,\uparrow\downarrow}^{12}|^2 + \Delta_n^R \right) f(E, \mu_1) - \left(|t_{n,\uparrow\uparrow}^{21}|^2 + |t_{n,\downarrow\uparrow}^{21}|^2 \right) f(E, \mu_2) dE, \\ I^\downarrow = \frac{e}{2\pi\hbar} \sum_{i=-N}^N \frac{k_n}{k_0} \int_0^\infty \left(|t_{n,\downarrow\uparrow}^{12}|^2 + |t_{n,\downarrow\downarrow}^{12}|^2 - \Delta_n^R \right) f(E, \mu_1) - \left(|t_{n,\downarrow\uparrow}^{21}|^2 + |t_{n,\downarrow\downarrow}^{21}|^2 \right) f(E, \mu_2) dE. \quad (21)$$

Здесь $f(E, \mu_1)$ и $f(E, \mu_2)$ — фермиевские функции распределения, $\Delta_n^R = |r_{n,\downarrow\uparrow}^{11}|^2 - |r_{n,\uparrow\downarrow}^{11}|^2$.

Вследствие симметрии по отношению к инверсии времени для токов (21) имеет место соотношение $I^\uparrow(\phi, s) = I^\downarrow(-\phi, -s)$.

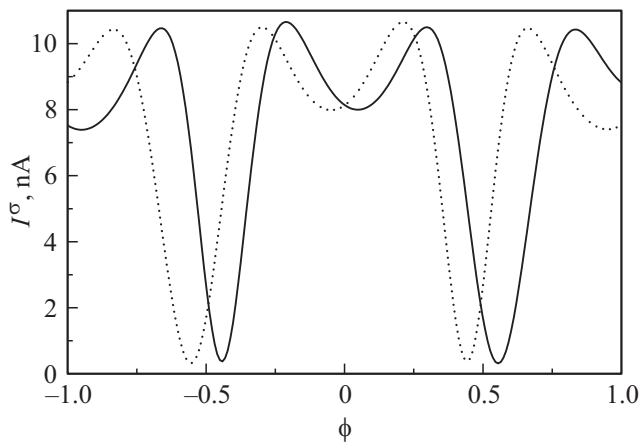


Рис. 2. Баллистические токи I^\uparrow (сплошная линия) и I^\downarrow (пунктир). $\rho = 33$ nm, $\lambda\rho = 0$, $\mu_1 = 2$ meV, $\mu_2 = 1.5$ meV, $\alpha = 1.51 \cdot 10^6$ cm/s, $g^* = 2$, $m^* = 0.067m_e$, $T = 1$ K.

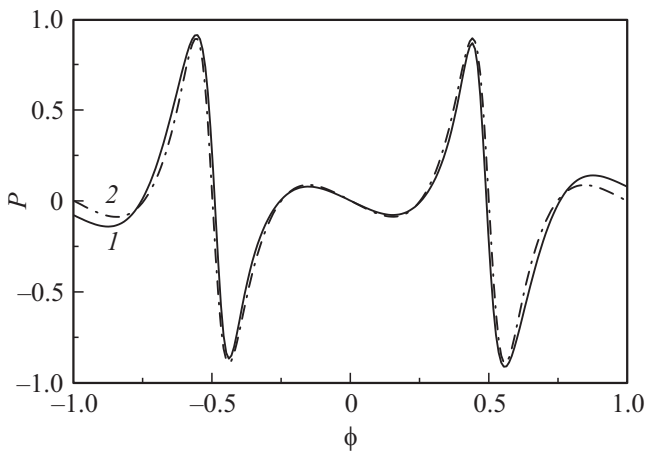


Рис. 3. Коэффициент спиновой поляризации баллистического тока при $g^* = 2$ (1) и 0 (2). Остальные параметры те же, что на рис. 2.

Рассмотрим сначала баллистический ток, обусловленный конечной разностью химических потенциалов. В отсутствие оптического возмущения в формулах (21) остается одно слагаемое при $n = 0$, в котором $\Delta_{0,\uparrow\downarrow}^R$ становится равным нулю. На рис. 2 представлена зависимость спин-поляризованных токов от магнитного потока через кольцо. Минимальные значения I^\uparrow и I^\downarrow обусловлены деструктивной интерференцией волновых функций на кольце [1,19] и располагаются при значениях потока $\phi_{\min} = h \pm \delta$ (h — полуцелое число) [19], где значение δ определяется величиной α_0 . Оно весьма мало для $\rho < 100$ nm и типичных значений $\alpha = (0.1-3) \cdot 10^6$ cm/s. При потоке, равном ϕ_{\min} , коэффициент спиновой поляризации тока $P = (I^\uparrow - I^\downarrow)/(I^\uparrow + I^\downarrow)$ достигает максимумов, близких по значению к единице. Рост амплитуд λ приводит к монотонному уменьшению тока, но почти не сказывается на величине P . Коэффициент спиновой поляризации слабо зависит и от величины зеемановского члена в гамильтониане (1) (рис. 3).

Поглощение циркулярно поляризованного излучения в кольцевых структурах может сопровождаться возникновением в присоединенных проводниках постоянного электрического тока [9,18]. Этот фотоиндуцированный ток возникает в отсутствие разности потенциалов и обусловлен преобразованием момента импульса фотонов в импульс поступательного движения электронов [20]. При наличии спин-орбитальной связи поглощение излучения влияет также на спиновую степень свободы электронов, благодаря чему возможно возникновение фотоиндуцированного спинового тока [11].

Вследствие наличия у системы центра инверсии для коэффициентов прохождения имеют место равенства $|t_{n,\sigma\sigma'}^{12}|^2 = |t_{n,\sigma\sigma'}^{21}|^2$, с учетом которых формулы (21) для $\mu_1 = \mu_2 = \mu$ принимают вид

$$I^\uparrow = \frac{e}{2\pi\hbar} \sum_{n=-N}^N \frac{k_n}{k_0} \int_0^\infty (\Delta_n^T + \Delta_n^R) f(E, \mu) dE, \quad I^\downarrow = -I^\uparrow, \quad (22)$$

где $\Delta_n^T = |t_{n,\uparrow\downarrow}^{12}|^2 - |t_{n,\downarrow\uparrow}^{12}|^2$. Зарядовый ток $I^\uparrow + I^\downarrow$ в этом случае отсутствует. Отметим, что при симметричной геометрии подключения $\Delta_0^T = \Delta_0^R = 0$. Но $\Delta_{n,\uparrow\downarrow}^T \neq 0$ и $\Delta_{n,\uparrow\downarrow}^R \neq 0$ при $n \neq 0$ (рис. 4). Как следует из (11), это означает различную координатную зависимость функций $\psi_{n,\uparrow}(\phi)$ и $\psi_{n,\downarrow}(\phi)$ при противоположных ориентациях спина падающего на кольцо электрона.

Качественно этот эффект можно пояснить на основе результатов работы [18], из которых следует, что основной вклад переходов между состояниями на кольце ψ_p и $\psi_{p'}$ в коэффициенты первого порядка определяется величиной $Z_q(p, p')$, имеющей вид

$$Z_q(p, p') = C_q(p, p') \frac{V_{pp'}}{(E_p - E)(E_{p'} - (E + \hbar\omega))}. \quad (23)$$

Здесь q — набор параметров, определяющих состояние падающего на кольцо электрона, p, p' — квантовые

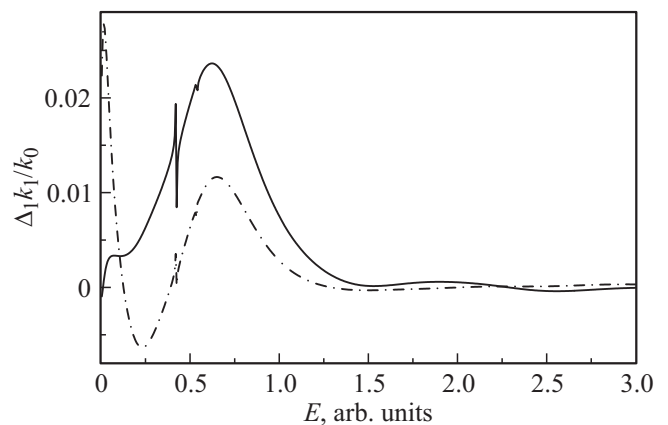


Рис. 4. Зависимость величин Δ_1^T (сплошная линия) и Δ_1^R (штрихпунктир) от энергии электрона. $\lambda\rho = 0$, $\phi = 0.33$, $\alpha = 1.51 \cdot 10^6$ cm/s, $g^* = 2$, $\hbar\omega = \varepsilon$, $E_0 = 10^3$ V/m, $s = 1$, $N = 1$.

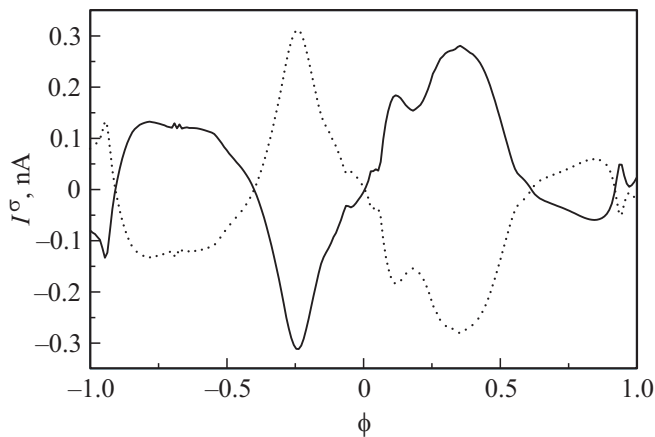


Рис. 5. Фотоиндуцированные токи I^\uparrow (сплошная линия) и I^\downarrow (пунктир) как функции магнитного потока. $\rho = 33 \text{ nm}$, $\lambda\rho = 0$, $\mu_1 = \mu_2 = 1.5 \text{ meV}$, $\alpha = 1.51 \cdot 10^6 \text{ cm/s}$, $g^* = 2$, $m^* = 0.067m_e$, $T = 1 \text{ K}$, $E_0 = 10^3 \text{ V/m}$, $\hbar\omega = \varepsilon$, $s = 1$, $N = 1$.

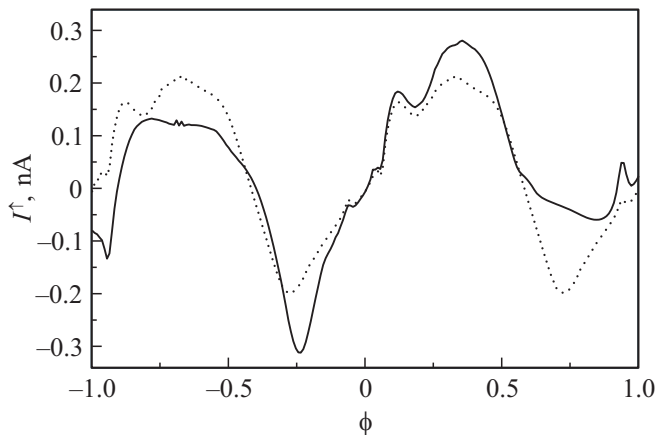


Рис. 6. Ток I^\uparrow при наличии и при отсутствии зеемановского взаимодействия. Сплошная линия соответствует $g^* = 2$, пунктир — $g^* = 0$. Остальные параметры те же, что на рис. 5.

числа, определяющие состояние электрона на кольце, $E_p, E_{p'}$ — соответствующие энергии спектра кольца, $V_{pp'}$ — амплитуда перехода под действием циркулярно поляризованного излучения, $C_q(p, p')$ — коэффициент, определяющий вес состояний p, p' в полной волновой функции.

Собственные функции гамильтониана Рашбы на кольце характеризуются квантовыми числами $m \dots -1, 0, 1 \dots$ и $\sigma_R = +, -$. Они соответствуют состояниям, спины которых σ_R наклонены относительно оси Z , а энергии $E_{m,+}$ и $E_{m,-}$ не равны друг другу [21]. Излучение вызывает переходы между этими состояниями с изменением числа m на величину $\pm s$. Из неравенства $E_{m,+} \neq E_{m,-}$ следует, что $Z_{E,\gamma}(m, \sigma_R, m + s, \sigma'_R) \neq Z_{E,\gamma}(m, \sigma'_R, m + s, \sigma_R)$. Это влечет за собой неравенства

$$\Delta_{n,\uparrow\downarrow}^T \neq 0, \quad \Delta_{n,\uparrow\downarrow}^R \neq 0.$$

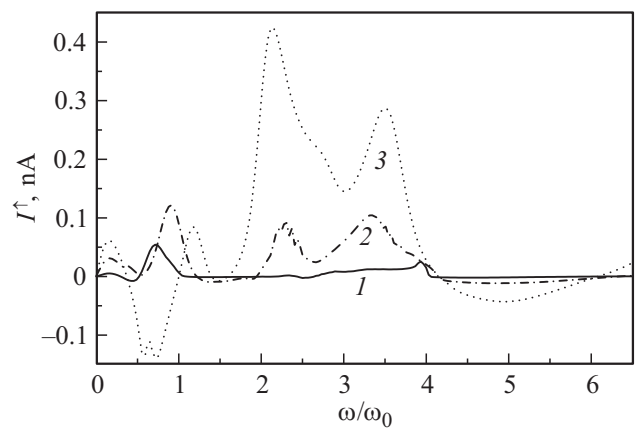


Рис. 7. Ток I^\uparrow как функция частоты излучения при различных значениях константы спин-орбитальной связи: $\alpha = 0.75 \cdot 10^6$ (1), $1.5 \cdot 10^6$ (2) и $2.25 \cdot 10^6 \text{ cm/s}$ (3). $\hbar\omega_0 = \varepsilon$, $\lambda\rho = 5$. Остальные параметры те же, что на рис. 5.

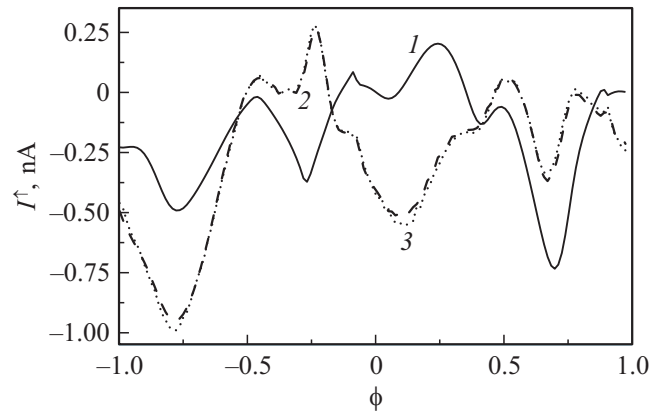


Рис. 8. Ток I^\uparrow , рассчитанный при $N = 1$ (1), 2 (2) и 3 (3) для $E_0 = 3.5 \cdot 10^3 \text{ V/m}$, $\rho = 33 \text{ nm}$, $\lambda\rho = 5$, $\mu_1 = \mu_2 = 1.5 \text{ meV}$, $\alpha = 1.51 \cdot 10^6 \text{ cm/s}$, $g^* = 2$, $\hbar\omega = \varepsilon$, $m^* = 0.067m_e$, $T = 0$.

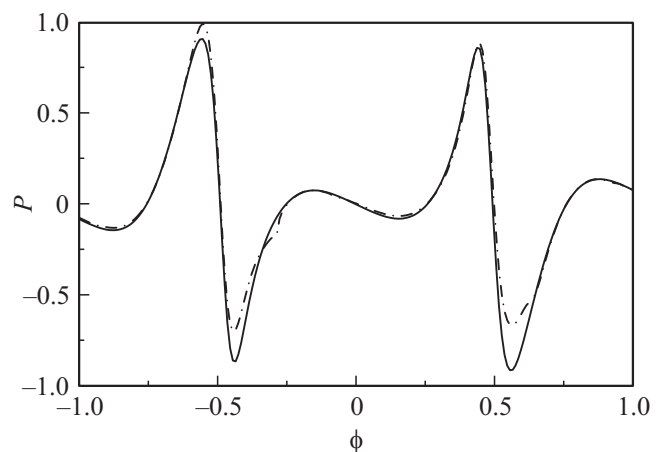


Рис. 9. Коэффициент спиновой поляризации баллистического тока в отсутствие излучения (сплошная линия) и при его наличии (штрихпунктир). Вблизи точки $\phi = -0.5$ взаимодействие с излучением приводит к росту одного из максимумов P до единицы; $\rho = 33 \text{ nm}$, $\lambda\rho = 0$, $\mu_1 = 2 \text{ meV}$, $\mu_2 = 1.5 \text{ meV}$, $\alpha = 1.51 \cdot 10^6 \text{ cm/s}$, $g^* = 2$, $m^* = 0.067m_e$, $T = 1 \text{ K}$. Параметры излучения: $E_0 = 1.5 \cdot 10^3 \text{ V/m}$, $\hbar\omega = 2\varepsilon$, $s = 1$, $N = 1$.

Для неравновесных электронных состояний на кольце, возникших под действием излучения, не выполняется условие деструктивной интерференции вблизи точки $\phi = \pm 0.5$. Следствием этого является отличная от невозмущенного случая зависимость токов от магнитного потока через кольцо (рис. 5). Зеемановское взаимодействие влияет как на спектр кольца, так и на амплитуду оптических переходов, оказывая существенное влияние на величину токов (22) при больших значениях магнитного потока (рис. 6). При увеличении константы спин-орбитальной связи растут резонансные частоты переходов между уровнями кольца, что приводит к смещению максимумов тока в область более высоких частот (рис. 7).

Численный анализ зависимостей показывает, что для колец радиусом 20–50 nm величина токов (21) пропорциональна мощности излучения вплоть до значений амплитуд электрического поля $E_0 \sim (1-1.5) \cdot 10^3$ V/m. При этом в системе (13) можно оборвать цепочку уравнений на первых членах, ограничившись учетом взаимодействия с излучением в первом порядке. При дальнейшем росте E_0 учет высших порядков может оказывать существенное влияние на токи (рис. 8).

Взаимодействие с излучением оказывает на баллистический ток наибольшее влияние при близких к ϕ_{\min} значениях магнитного потока, значительно меняя величину максимумов коэффициента спиновой поляризации. При $\phi \sim \phi_{\min}$ путем изменения мощности излучения можно обратить в нуль одну из поляризованных компонент тока, получив 100% спиновую фильтрацию рис. 9.

5. Заключение

В работе проведен расчет фотоиндуцированного спинового тока в центросимметричной системе, состоящей из одномерного квантового кольца Рашбы с присоединенными проводниками. Ток выражается через коэффициенты отражения и прохождения электрона с учетом неупругого взаимодействия с излучением. Он пропорционален интенсивности излучения при напряженности амплитуды электрического поля излучения в пределах $(1-1.5) \cdot 10^3$ V/m для колец малого радиуса и сложным образом зависит от величины магнитного потока через кольцо и константы спин-орбитальной связи. Переноса заряда в центросимметричной системе в отсутствие разности потенциалов не происходит. При наличии разности потенциалов взаимодействие с излучением может существенно повысить эффективность спиновой фильтрации баллистического тока.

Список литературы

- [1] V. Moldovaenu, B. Tanatar. Phys. Rev. B **81**, 035326 (2010).
- [2] S.K. Maiti. Lett. A **379**, 361 (2015).
- [3] L.-X. Zhai, Y. Wang, J.-J. Liu. Phys. Lett. A **374**, 4548 (2010).
- [4] M. Lee, C. Bruder. Phys. Rev. B **73**, 085315 (2006).

- [5] L. Eslami, M. Esmailzadeh. J. Applied. Phys. **115**, 084307 (2014).
- [6] M.P. Nowak, B. Szafran, F.M. Peeters. Phys. Rev. B **84**, 235319 (2011).
- [7] F.E. Meijer, A.F. Morpurgo, T.M. Klapwijk. Phys. Rev. B **66**, 033107 (2002).
- [8] E. Zhang, S. Zhang, Q. Wang. Phys. Rev. B **75**, 085308 (2007).
- [9] Y.V. Pershin, C. Piermarocchi. Phys. Rev. B **75**, 035326 (2007).
- [10] J. Hubner, W.W. Ruhle, M. Klude, D. Hommel, R.D.R. Bhat, J.E. Sipe, H.M. van Driel. Phys. Rev. Lett. **90**, 216601 (2003).
- [11] С.А. Тарасенко, Е.Л. Ивченко. Письма в ЖЭТФ **81**, 292 (2005).
- [12] E.Ya. Sherman, A. Najmaie, J.E. Sipe. Appl. Phys. Lett. **86**, 122103 (2005).
- [13] S.D. Ganichev, W. Prettl. J. Phys.: Condens. Matter **15**, R935 (2003).
- [14] M. Nita, D.C. Marinescu, A. Manolescu, V. Gudmundsson. Phys. Rev. B **83**, 155427 (2011).
- [15] L. Zhang, J. Wang. Commun. Theor. Phys. **55**, 709 (2011).
- [16] B.H. Wu, J.C. Cao. Phys. Rev. B **75**, 113303. (2007).
- [17] R. Citro, F. Romeo. Phys. Rev. B **73**, 233 304 (2006).
- [18] А.А. Григорькин, С.М. Дунаевский, М.А. Пятаев. ФТТ **57**, 578 (2015).
- [19] P.M. Shmakov, A.P. Dmitriev, V.Yu. Kachorovskii. Phys. Rev. B **85**, 075422 (2012).
- [20] Л.И. Магарилл, М.В. Энтин. Письма в ЖЭТФ **78**, 249 (2003).
- [21] J. Splettstoesser, M. Governal, U. Zulicke. Phys. Rev. B **68**, 165341 (2003).